

中部電力 総合技研 正 藤田正和

1. はじめに

ロック材のような粗粒材料のせん断試験にはしばしば一面せん断試験機が用いられている。一面せん断試験は試験法としての歴史も古く、簡便であるという利点を有しているものの、せん断に伴う進行性破壊、供試体内部の応力分布の不均一性、応力軸の回転および拘束型試験機における側面摩擦の影響等の不確定要素によって力学的な理論づけという面では十分な信頼性をもっていない。また、粗粒材を扱う場合にはせん断箱の寸法効果といったことも重要な要素となっている。一面せん断試験に関する研究は土質工学会が行なった標準砂の一齊試験を契機として2, 3行なわれたが、十分な結論を得るには至っておらず、特に、せん断時の変形特性との関係で論じられているものは少い。砂がせん断変形を受ける際の応力-ひずみ関係は一面せん断試験が上述した種々の未知量によって影響されるとしても、それから得られたせん断強度を考える場合に重要な指針を与えてくれるものと考える。著者らはロック材の一面せん断試験から得られる強度を三軸圧縮試験との比較において検討するため、中型の試験機を試作したが、ここでは、基礎実験として実施した豊浦標準砂についての結果を報告する。

2. 試作試験機の概要と実験方法

試作試験機の概要を図-1に示す。せん断箱の寸法は、断面が 300×300 の正方形であり、深さは 150 を基本として上部と下部載荷板に鉄板を取り付けることによって仕 意厚さの供試体を作成できるようになっている。構造は三 管式改良型試験機と同様で上部可動下部固定の下部載荷方式となっており、上部せん断箱は上下のローラーによって水平方向のみ動く、完全拘束型に近いものである。せん 断力は電動モーターによって、垂直荷重は油圧によつて載 荷し、等圧せん断における垂直荷重と等体積せん断における垂直変位は載荷板とピストンとの間にとりつけたロードセルからの出力をもとに定荷重操縦によつて等圧せん断の場合、載荷重 1% 以下、等体積せん断の場合 0.02mm 以下に制御できる。

試料は市販の乾燥豊浦標準砂であり、初期間ゲキ比を $\epsilon_0 = 0.663, \epsilon_0 = 0.735, \epsilon_0 = 0.803, \epsilon_0 = 0.880$ の4ケー スとし、供試体の作成はこれを4層にわけ、1層ごとに突き棒によつてつめ、そのつどゲージによつて所定の高さとなるようにして作成した。垂直荷重は $D = 2.2, 8.9, 17.8 \text{ kN/cm}^2$ の3ケースである。また、層厚の影響をみると、厚さを $H = 150, 100, 50 \text{ mm}$ （以下、これを $\eta / H = 2, 3, 6$ と呼ぶ）の3通りとして等圧試験を実施し、等体積試験では $D / H = 3$ について実験した。

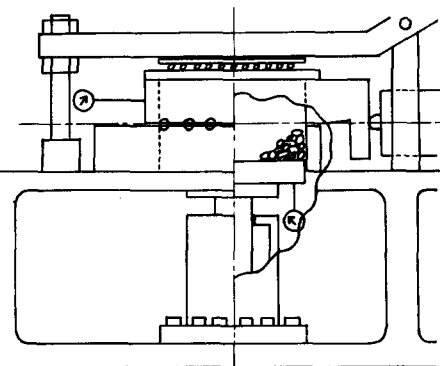


図-1 試作中型一面せん断試験機の概要

3. 実験結果と考察

等圧試験における最大応力比(τ_{max}/τ_0)の値を垂直応力ごとに示したもののが図-2である。図には市原、松沢¹⁾が行なった平面ひずみ試験ならびに三軸圧縮試験の実験値が示してある。初期間ゲキ比による強度の影響は必ずカレルルに対して同程度の傾きをもつているが、強度そのものは応力レベルによってかなり異なり、 τ_{max}

一面関係が屈曲していることを表わしている。
 $\sigma_n = 2.2 \text{ kg/cm}^2$ に対する結果は前述した一面試験における拘束型試験機の結果²⁾と同様な傾向を示しており、かなり大きな値となっている。また、供試体厚さにおける影響は必ずしも単純ではなく、データー数が少いこともあって明確な結論は下せないが、概ね、垂直荷重が小さいほど、密度がやるいほど大きく、強度は層厚が薄いほど大きい。

図-3は $D/H=3$ における等体積せん断試験の結果を示している。図からわかるように、この場合には初期間ゲキ比による影響はあるものの初期載荷重 σ_n の大きさにはほとんど関係していない。

さて、砂のせん断特性がその変形特性によって支配されるのは自明であり、一面せん断試験が前述したような特に卓越したものない種々の不確定要因によって支配されるとしても、応力比-ダイレイタンシー関係のような固有の関係が、何らかの形で表現されているものと考えられる。ここでは、一般的なひずみ増分比のかわりに便義的にせん断変位増分に対する垂直変位増分の比 $(dh/dl)_{max}$ をとり、最大応力比 $(\tau/\sigma_n)_{max}$ との関係を調べた。

等圧試験における上述の関係を示したもののが図-4と図-5である。実験値全体としては図上で非線形な関係となり、そのバラツキの程度も大であるが、図-4のようにその垂直荷重によって整理してやると $(dh/dl)_{max}$ の小さい領域で多少乱れるものの、層厚や初期間ゲキ比に依存しない良好な線形関係が得られる。そしてこの傾きは σ_n が大きいほど大きくなっている。層厚に関して図-2と比較して考えてみると、原因の一つとして層厚による荷重の伝達性を考えることができる。すなわち、供試体が厚い場合には伝達性が悪くせん断面付近では見掛けの載荷重より幾分小さい値となるより強度も小さくなる。これに対して、真の応力比-ひずみ増分比関係はある垂直荷重の幅の中で一定であり、そのため、図-4にその差は出てこないと思われる。

次に初期間ゲキ比によって整理したものが図-5である。図-4ほど明瞭ではないがダイレイタンシー量の大きい領域で初期間ゲキ比ごとの複数関係が得られる。そして、 $e_0 = 0.663$ と $e_0 = 0.735$ ではほぼ平行な関係となり、これを $e_0 = 0.803$ まで拡張して引いてやると、その $(\tau/\sigma_n)_{max}$ 軸切片は、先に示した等体積試験の値とよい一致を示している。以上に示してきたデーターから結論を云々することは早計であろうが、一面せん断試験においても変形特性との関係である程度整理でき、今後さらにはデーターを積み重ねてゆきたいと考える。

参考文献；1)原松次、「平面のみ状態と輪打状のみ状態における乾燥砂のせん断特性」土木学会論文叢集、第173号、1970年1月、2)たとむ、填砂舗装編、「土質試験法」

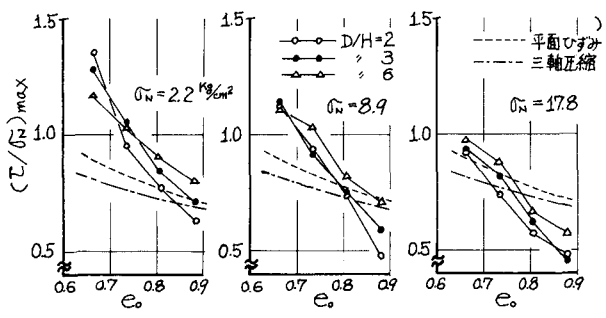


図-2 等圧試験の $(\tau/\sigma_n)_{max}$ ～ e_0 関係。

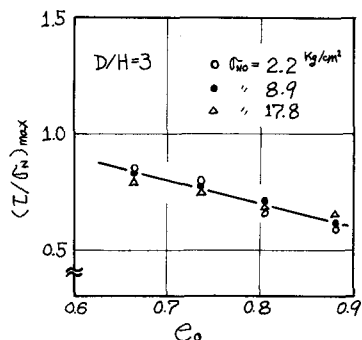


図-3 等体積試験の $(\tau/\sigma_n)_{max}$

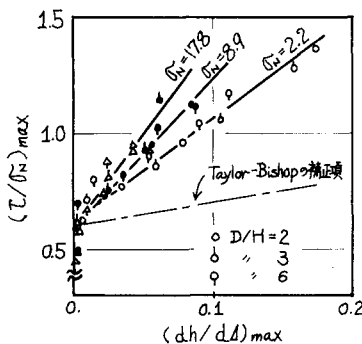


図-4 等圧試験における $(\tau/\sigma_n)_{max}$ ～ $(dh/dl)_{max}$ 関係
(σ_n による整理)

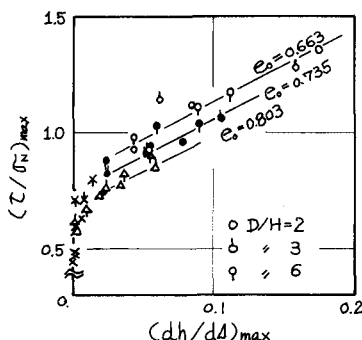


図-5 等圧試験の $(\tau/\sigma_n)_{max}$ ～ $(dh/dl)_{max}$ 関係
(e_0 による整理)